

# Obliczenia naukowe

Felix Zieliński 272336

## Lista 2

TODO OPIS, czy zadanie 2? zadanie 3

**Zadanie 1.** Niewielkie zmiany danych oraz ich wpływ na wyniki obliczeń.

W ramach przypomnienia zadania: na poprzedniej liście należało obliczyć iloczyny skalarne dwóch wektorów na cztery różne sposoby.

Zaimplementowałem każdy z podanych w poleceniu sposobów, tak więc funkcja **a** liczy "w przód", od pierwszych indeksów, funkcja **b** "w tył", analogicznie, a **c** oraz **d** liczą, odpowiednio, od największego do najmniejszego oraz od najmniejszego do największego względem ich wartości absolutnej.

Różnica w tym zadaniu, a zadaniu 5. z poprzedniej listy polegała na dokonaniu drobnej zmiany w niektórych wartościach wektora. Poniżej prezentuję wyniki otrzymane po, jak i przed tej zmianie:

| Sposób | Float32 stare | Float32 nowe | Float64 stare           | Float64 nowe          |
|--------|---------------|--------------|-------------------------|-----------------------|
| a      | -0.4999443    | -0.4999443   | 1.0251881368296672e-10  | -0.004296342739891585 |
| b      | -0.4543457    | -0.4543457   | -1.5643308870494366e-10 | -0.004296342998713953 |
| c      | -0.5          | -0.5         | 0.0                     | -0.004296342842280865 |
| d      | -0.5          | -0.5         | 0.0                     | -0.004296342842280865 |

Tabela 1: Porównanie nowych i starych danych

gdzie wartość prawidłowa wynosi:

$-1.00657107000000e-11$

Jak widać, wyniki dla typu **Float32** nie zmieniły się. Jest to spowodowane niewystarczającą do zauważenia różnicą precyzją zapisu liczby zmiennopozycyjnej w tym typie.

Natomiast w typie **Float64** różnica jest znaczna mimo tak niewielkiej zmiany danych. Mimo że wyniki nadal odbiegają od prawidłowego, są one mu znacznie bliższe.

Można więc stwierdzić, że zadanie to było **źle uwarunkowane** - o wysokim

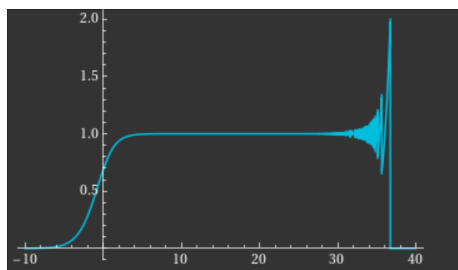
wskaźniku uwarunkowania. Wskaźnik ten określa, w jakim stopniu błąd reprezentacji numerycznej danych wejściowych dla danego problemu będzie wpływać na błąd wyniku. Małe zmiany danych w tym zadaniu spowodowały znaczną zmianę wyników.

---

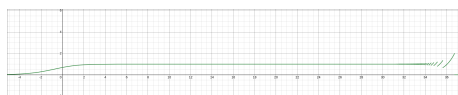
**Zadanie 2.** W tym zadaniu należało narysować wykres funkcji

$$f(x) = e^x \ln(1 + e^{-x})$$

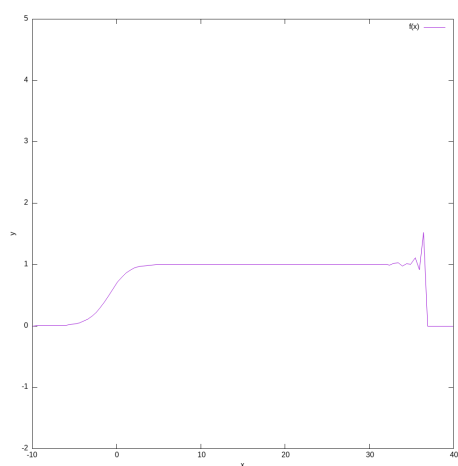
w dwóch różnych programach do wizualizacji danych. Zdecydowałem się na użycie WolframAlpha, Desmosa oraz Gnuplota



Rysunek 1: WolframAlpha: `plot e^x * ln(1 + e^-x) from x = -10 to x = 40`



Rysunek 2: Desmos



Rysunek 3: Gnuplot

Granica tej funkcji dla  $x$  zmierzającego do nieskończoności wynosi

$$\lim_{x \rightarrow \infty} f(x) = \lim_{x \rightarrow \infty} e^x \ln(1 + e^{-x}) = 1$$

Jak można zauważyć, dla wartości  $x \geq 32$  wykresy zaczynają wskazywać błędne wartości, każdy na trochę inny sposób. Oscylują one wokół 1, coraz bardziej odbiegając od jej wartości, a następnie spadają do 0.

Dzieje się tak, gdyż dla  $x > 30$  wartości  $e^x$  są już tak duże, że mnożenie jej z niewielką wartością  $\ln(1 + e^{-x})$  skutkuje znacznymi błędami przybliżenia, które dla ok  $x = 38$  powodują zwracanie wartości 0. Jest to spowodowane przybliżeniem  $1 + e^{-x} \approx 1$ , i tym samym całej wartości logarytmu do 0. Tak więc algorytm obliczający wartości  $f(x)$  nie jest stabilny numerycznie.

**Zadanie 3.** W zadaniu tym należało rozwiązać liniowy układ równań  $A * x = b$  dla danej macierzy współczynników  $A \in \mathbb{R}^{n \times n}$  i wektora prawych stron  $b \in \mathbb{R}^n$ . Macierze były generowane poprzez dostarczone przez prowadzącego funkcje: generującą macierz Hilberta  $n$ -tego stopnia oraz generującą losową macierz  $n$ -tego stopnia z zadaniem wskaźnikiem uwarunkowania.

W tabelach przedstawiłem błędy względne dla zadanych algorytmów: eliminacji Gaussa oraz inwersji. Uwarunkowanie oraz rząd macierzy są obliczane poprzez wbudowane w paczkę LinearAlgebra funkcje `cond()` oraz `rank()`.

| n  | uwarunkowanie         | rząd | błąd metody Gaussa     | błąd metody inwersji   |
|----|-----------------------|------|------------------------|------------------------|
| 1  | 1.0                   | 1    | 0.0                    | 0.0                    |
| 2  | 19.281470067903967    | 2    | 5.661048867003676e-16  | 1.1240151438116956e-15 |
| 3  | 524.0567775860627     | 3    | 8.351061872731819e-15  | 9.825526038180824e-15  |
| 4  | 15513.738738929662    | 4    | 4.2267316576255873e-13 | 3.9600008750140806e-13 |
| 5  | 476607.2502419338     | 5    | 1.256825919192874e-12  | 8.128168770215688e-12  |
| 6  | 1.495105864177819e7   | 6    | 1.5435074657413347e-10 | 1.0423794065751672e-10 |
| 7  | 4.753673568766496e8   | 7    | 6.520804933066021e-9   | 4.3299229851434615e-9  |
| 8  | 1.5257575563722723e10 | 8    | 3.6010489197068436e-7  | 4.0236799996435915e-7  |
| 9  | 4.9315332284138226e11 | 9    | 1.3216991540025553e-5  | 1.4626798972086921e-5  |
| 10 | 1.6024980732174455e13 | 10   | 0.0004194170177181955  | 0.00040714905218460087 |
| 11 | 5.224780779168285e14  | 10   | 0.01004906783345069    | 0.010645959401385671   |
| 12 | 1.6425917529444498e16 | 11   | 0.5502106922296848     | 0.6697890564301745     |
| 13 | 4.4936679531246986e18 | 11   | 70.1556197115221       | 82.66675811171989      |
| 14 | 3.2198422552156205e17 | 11   | 9.649642437452474      | 10.094732062453225     |
| 15 | 3.3660126672602944e17 | 12   | 692.4295360390742      | 715.740988667373       |
| 16 | 2.249940193352714e18  | 12   | 10.414656083840297     | 8.442143351389534      |
| 17 | 6.26204622473199e17   | 12   | 18.67581817300634      | 17.157982115668773     |
| 18 | 3.266632306940269e18  | 12   | 5.40548300394664       | 3.742412802776696      |
| 19 | 3.462302955915255e18  | 13   | 15.073941146224387     | 16.84769281513296      |
| 20 | 6.806966421072721e18  | 13   | 28.79267493699834      | 30.751202239608727     |

Tabela 2: Macierze Hilberta

Im wyższe uwarunkowanie, tym wyższy błąd względny dla obu metod.

| n  | c         | uwarunkowanie         | rzęd | błąd metody Gaussa     | błąd metody inwersji   |
|----|-----------|-----------------------|------|------------------------|------------------------|
| 5  | $10^0$    | 1.0000000000000007    | 5    | 2.0471501066083611e-16 | 1.7901808365247238e-16 |
| 5  | $10^1$    | 10.000000000000001    | 5    | 2.579925170969555e-16  | 1.4895204919483638e-16 |
| 5  | $10^3$    | 999.9999999999956     | 5    | 4.154180998732242e-14  | 3.6649738390350505e-14 |
| 5  | $10^7$    | 9.999999992624711e6   | 5    | 1.2808136131610903e-10 | 1.2922561774440224e-10 |
| 5  | $10^{12}$ | 1.0000402198324714e12 | 5    | 2.4114718692896424e-5  | 2.1083207553058387e-5  |
| 5  | $10^{16}$ | 6.457380316295465e15  | 4    | 0.279866038431425      | 0.23511506127614903    |
| 10 | $10^0$    | 1.0000000000000009    | 10   | 3.1006841635969763e-16 | 2.6506211417561425e-16 |
| 10 | $10^1$    | 9.999999999999991     | 10   | 2.432376777795247e-16  | 3.255813018879823e-16  |
| 10 | $10^3$    | 999.9999999999854     | 10   | 5.123291327463699e-15  | 4.80612456985904e-15   |
| 10 | $10^7$    | 9.9999999300524e6     | 10   | 2.613887510795298e-10  | 2.9367939862640613e-10 |
| 10 | $10^{12}$ | 9.999916908430352e11  | 10   | 2.5298084239916387e-5  | 2.7222350440303e-5     |
| 10 | $10^{16}$ | 5.260556228219448e16  | 9    | 0.2349713562983511     | 0.17164964730117435    |
| 20 | $10^0$    | 1.0000000000000009    | 20   | 5.450279209566124e-16  | 4.557326905135503e-16  |
| 20 | $10^1$    | 9.999999999999999     | 20   | 5.318651993048588e-16  | 3.430930459816227e-16  |
| 20 | $10^3$    | 1000.0000000000724    | 20   | 4.374127960791212e-14  | 3.7395403352225206e-14 |
| 20 | $10^7$    | 1.000000008586796e7   | 20   | 4.8148086460727405e-12 | 7.333934288678081e-11  |
| 20 | $10^{12}$ | 1.000058179546536e12  | 20   | 5.063442743791289e-5   | 5.134232142086649e-5   |
| 20 | $10^{16}$ | 9.35903000507404e15   | 19   | 0.13171344480426542    | 0.16281145033250885    |

Tabela 3: Macierze losowe

Tak jak przy macierzach Hilberta, w wynikach dla macierzy losowych można zaobserwować rosnący błąd względny. Ponadto widać, że funkcja `cond()` nie oblicza dokładnie uwarunkowania, tylko je przybliża. Ponadto wartości tych przybliżeń są różne dla różnych procesorów.

Powyższe tabele pozwalają na wyciągnięcie wniosku, że zadanie to było źle uwarunkowane, zwłaszcza dla macierzy Hilberta - wraz ze wzrostem stopnia macierzy ostro rośnie też wskaźnik uwarunkowania i, jednocześnie, błąd względny. Dla macierzy losowych dzieje się podobnie, jednakże ten wzrost jest wolniejszy (błędy są mniejsze).

---

**Zadanie 4.** W zadaniu tym należało obliczyć miejsca zerowe danego wielomianu  $P(x)$  i przedstawić wyniki dla  $z_k$ ,  $1 \leq k \leq 20$ , obliczając  $|P(z_k)|$ ,  $|p(z_k)|$  i  $|z_k - k|$ . Następnie należało powtórzyć eksperyment Wilkinsona, czyli lekko zmodyfikować wielomian i przeprowadzić ponownie obliczenia.

Jak można zauważyć, obliczone miejsca zerowe przy pomocy `roots()` są zbliżone, ale nie równe wartościom prawidłowym.

| $k$ | $z_k$              | $ Pz_k $              | $ pz_k $              | $ z_k - k $            |
|-----|--------------------|-----------------------|-----------------------|------------------------|
| 1   | 0.999999999996989  | 35696.50964788257     | 368.50964789367345    | 3.0109248427834245e-13 |
| 2   | 2.000000000283182  | 176252.60026668405    | 15996.60026439321     | 2.8318236644508943e-11 |
| 3   | 2.9999999995920965 | 279157.6968824087     | 100981.69690684375    | 4.0790348876384996e-10 |
| 4   | 3.999999837375317  | 3.0271092988991085e6  | 252581.31017303217    | 1.626246826091915e-8   |
| 5   | 5.000000665769791  | 2.2917473756567076e7  | 152225.31504973918    | 6.657697912970661e-7   |
| 6   | 5.999989245824773  | 1.2902417284205095e8  | 4.441356137271629e6   | 1.0754175226779239e-5  |
| 7   | 7.000102002793008  | 4.805112754602064e8   | 4.510025884078405e7   | 0.00010200279300764947 |
| 8   | 7.999355829607762  | 1.6379520218961136e9  | 2.309311180467704e8   | 0.0006441703922384079  |
| 9   | 9.002915294362053  | 4.877071372550003e9   | 5.2519713947457147e8  | 0.002915294362052734   |
| 10  | 9.990413042481725  | 1.3638638195458128e10 | 1.4705597374927537e9  | 0.009586957518274986   |
| 11  | 11.025022932909318 | 3.585631295130865e10  | 2.257814747009822e9   | 0.025022932909317674   |
| 12  | 11.953283253846857 | 7.533332360358197e10  | 5.776283226748977e9   | 0.04671674615314281    |
| 13  | 13.07431403244734  | 1.9605988124330817e11 | 8.720084582957656e8   | 0.07431403244734014    |
| 14  | 13.914755591802127 | 3.5751347823104315e11 | 2.100530498133618e10  | 0.08524440819787316    |
| 15  | 15.075493799699476 | 8.21627123645597e11   | 9.0205643837176e10    | 0.07549379969947623    |
| 16  | 15.946286716607972 | 1.5514978880494067e12 | 1.1093925108150577e11 | 0.05371328339202819    |
| 17  | 17.025427146237412 | 3.694735918486229e12  | 5.420826950832621e11  | 0.025427146237412046   |
| 18  | 17.99092135271648  | 7.650109016515867e12  | 2.0817615965429592e12 | 0.009078647283519814   |
| 19  | 19.00190981829944  | 1.1435273749721195e13 | 4.420887520697798e12  | 0.0019098182994383706  |
| 20  | 19.999809291236637 | 2.7924106393680727e13 | 3.2780945625202856e12 | 0.00019070876336257925 |

Tabela 4: Wielomian  $P(x)$